

УДК 544.463

## Механохимический синтез нанодисперсных соединений в системе ZnO-MoO<sub>3</sub>

**B. A. Зажигалов<sup>1</sup>, Е. В. Сачук<sup>1</sup>, Н. С. Копачевская<sup>1</sup>, И. В. Бачерикова<sup>1</sup>,  
К. Вечорек-Цюрова (K. Wieczorek-Cirowa)<sup>2</sup>, С. Н. Щербаков<sup>3</sup>**

<sup>1</sup> Институт сорбции и проблем эндоэкологии НАН Украины  
ул. Наумова, 13, Киев 03164, Украина. E-mail: zazhigal@ispe.kiev.ua

<sup>2</sup> Institute of Chemistry and Inorganic Technology, T. Kostyushko Cracow University of Technology  
Warszawska Str., 24, Cracow 31-155, Poland. E-mail: kwc@pk.edu.pl

<sup>3</sup> Центр коллективного использования приборов, Институт ботаники им. Н. Г. Холодного НАН Украины  
ул. Терещенковская, 2, Киев 01004, Украина

*Показано, что механохимическая обработка смеси оксидов ZnO-MoO<sub>3</sub> (1 : 1) в шаровой планетарной мельнице на воздухе приводит к формированию наноразмерного MoO<sub>3</sub>·0,5H<sub>2</sub>O с последующим образованием β-ZnMoO<sub>4</sub>, находящегося частично в форме наностержней.*

**Ключевые слова:** механохимия, наносоединения, оксид молибдена, оксид цинка, молибдат цинка.

Известно, что молибдаты различных металлов, в том числе и молибдат цинка, применяются в лазерной технике, акустооптике и сцинтиляционных детекторах как люминесцентные материалы и антикоррозионные покрытия или катализаторы. При этом их свойства значительно улучшаются при переходе от микро- к наноразмерам частиц.

Для получения молибдатов металлов предлагаются соосаждение с последующим прогревом продукта, высокотемпературный твердофазный, гидротермальный (в присутствии сурфактантов) или сольваттермальный методы [1, 2], однако они приводят к получению продукта с размерами частиц 200—500 нм, низким значением удельной поверхности (2—3 м<sup>2</sup>/г), а иногда и смеси молибдатов, что требует дополнительных операций для их разделения.

В последнее время механохимия становится все более эффективным способом активации соединений (отмечено уменьшение их размеров от микро- до наночастиц, увеличение их удельной поверхности, модификация структуры поверхности и пористой структуры, повышение каталитической активности и др.), полученных традиционными методами. Одновременно показана перспективность применения механохимии для активации исходных компонентов при их дальнейшем использовании в традиционных методах синтеза, а также для прямого синтеза новых материалов из исходных соединений, в том числе и

нанодисперсных соединений [3—9]. Данный метод, по сравнению с традиционными методами получения твердых тел, позволяет исключить использование значительного количества растворителей, снижает температуру и время синтеза, упрощает выделение желаемого компонента и др.

В отношении некоторых молибдатов металлов (Ni, Zr, Bi) опубликованы данные о прямом их механохимическом синтезе [10, 11]. Однако сведения о механохимической обработке системы ZnO-MoO<sub>3</sub> в литературе отсутствуют. Хотя показано [7, 12—16], что исходные компоненты ZnO и MoO<sub>3</sub> могут быть эффективно активированы в процессе механохимической обработки и формируют наночастицы этих оксидов. В настоящей работе рассмотрены превращения, происходящие при обработке смеси оксидов ZnO и MoO<sub>3</sub>, и возможность получения нанодисперсного молибдата цинка.

### Экспериментальная часть

Механохимической обработке подвергали смесь ZnO и MoO<sub>3</sub> (мольное соотношение 1 : 1). Использовали оксиды квалификации «ч.».

Механохимическую обработку проводили в шаровой планетарной мельнице «Pulverisette-6» («Fritsch») с применением емкости объемом 200 мл и шаров (диаметр 5 мм) из оксида циркония. Предварительно перемешанную смесь оксидов (10 г) за-

гружали в емкость, соотношение веса шаров к весу смеси оксидов составляло 10 : 1. Обработку проводили при 550 об/мин с варьированием времени обработки 2, 4 и 8 ч в воздушной атмосфере (с использованием реверса через каждые 30 мин обработки).

Свойства полученных в результате механохимической обработки образцов исследованы с использованием различных физико-химических методов. Рентгенофазовый анализ (РФА) образцов проводили на дифрактометре PW 1830 («Philips») с использованием  $\text{CuK}_\alpha$ -излучения. Расчет размера частиц проведен с использованием уравнения Шеррера. Дифференциальный термический анализ (ДТА) реализован на приборе «Derivatograph-Q» («Paulik-Paulik-Erdey») в диапазоне температур 25—850 °C (навеска образца 100 мг, скорость подъема температуры 10 °C/мин) на воздухе. ИК-спектры регистрировали на приборе «Spectrum-One» («Perkin-Elmer») при массовом соотношении образец/KBr 1 : 20. Изотермы адсорбции азота при —196 °C получены на приборе «NOVA-220e Gas Sorption Analyzer» («Quantachrome»). Исследования образцов на сканирующем электронном микроскопе (СЭМ) проведены на приборе JSM-6490 («Jeol») с предварительным напылением нанослоя золота. Методом трансмиссионной электронной микроскопии (ТЭМ) образцы изучены на приборе JEM 1230 («Jeol») после их предварительного ультразвукового диспергирования в этаноле. Исследования образцов методом РФЭС выполнены на спектрометре с полусферическим анализатором SES R 4000 («Gammadata Scienta»), откалиброванном согласно ISO 15472 : 2001 ( $\text{MgK}_\alpha$ -излучение 1253,6 эВ). Стандарт для определения энергии связи электронов линия C1s-электронов (285 эВ).

### Результаты и обсуждение

Установлено, что на рентгенограмме исходной смеси  $\text{ZnO}\text{-}\text{MoO}_3$  присутствуют все рефлексы, характерные для этих оксидов, при этом для оксида молибдена их интенсивность значительно больше, чем для оксида цинка. Максимальная интенсивность наблюдается для рефлекса плоскости (040)  $\alpha\text{-}\text{MoO}_3$  (рис. 1, а).

После механохимической обработки смеси в течение 2 ч на дифрактограмме образца отмечается существенное снижение интенсивности всех рефлексов исходных оксидов и их уширение (рис. 1, б). Последнее может свидетельствовать о значительном уменьшении размеров кристаллитов исходных оксидов, что подтверждают данные расчета по уравнению Шеррера, представленные в таблице. При этом следует обратить внимание на значительное уменьшение интенсивности рефлексов  $\text{MoO}_3$ ,

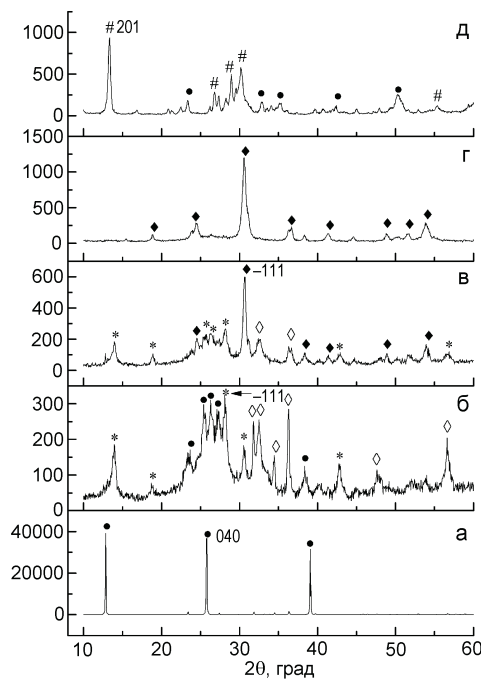


Рис. 1. Рентгенограммы смеси  $\text{ZnO}\text{-}\text{MoO}_3$  (1 : 1): а — исходная смесь; б—г — после механохимической обработки на воздухе в течение 2, 4 и 8 ч соответственно; д — после обработки в воде в течение 4 ч.

которые уступают интенсивности линий от  $\text{ZnO}$ . Максимальную интенсивность для  $\text{MoO}_3$  имеет рефлекс от плоскости (021), а не от (040), как в исходной смеси. Одновременно можно отметить, что на рентгенограмме появляются новые рефлексы, характерные для соединений  $\text{MoO}_3\cdot0,5\text{H}_2\text{O}$ , которые имеют наибольшую интенсивность на дифрактограмме (максимальная интенсивность наблюдается для рефлекса плоскости (−111)), и  $\beta\text{-}\text{ZnMoO}_4$  (интенсивный рефлекс плоскости (−111)). Резкое уменьшение интенсивности рефлексов оксида молибдена может быть связано с тем, что в результате механохимической обработки смеси оксидов происходит как частичная аморфизация данного соединения, отмеченная при его индивидуальной обработке в работах [13—16], так и образование новых фаз. О частичной аморфизации можно судить по наличию галло в области  $2\theta = 20^\circ\text{--}40^\circ$ .

Формирование  $\text{MoO}_3\cdot0,5\text{H}_2\text{O}$ , очевидно, связано с участием молекул воды, прочно адсорбированных на поверхности исходных оксидов (или капсулированных в оксиды), наличие которых подтверждают данные ДТА, показывающие достаточно резкую потерю массы 5 % и эндоэффект при 260 °C для исходной смеси. Наличие адсорбированной воды подтверждают также данные ИК-спектроскопии, которые фиксируют полосы поглощения при 3430 и 1628  $\text{cm}^{-1}$ . Следует также отметить, что для исходной

**Свойства образцов ZnO-MoO<sub>3</sub> (1 : 1) после механохимической обработки на воздухе**

Время обработки, ч	Фазовый состав*	<i>L</i> , нм	<i>S</i> , м <sup>2</sup> /г	<i>V<sub>s</sub></i> , см <sup>3</sup> /г	<i>d<sub>пор</sub></i> , нм	Энергия связи электронов, эВ	
						Zn2p <sub>3/2</sub>	Mo3d <sub>5/2</sub>
0	α-MoO <sub>3</sub> , ZnO	56	2	0,026	87	1021,8	232,8
2	MoO <sub>3</sub> ·0,5H <sub>2</sub> O, α-MoO <sub>3</sub> , ZnO	13	5	0,022	9	1022,0	232,9
4	β-ZnMoO <sub>4</sub> , ZnO, MoO <sub>3</sub> ·0,5H <sub>2</sub> O	18	6	0,027	5	1022,4	232,6
8	β-ZnMoO <sub>4</sub>	15	9	0,037	2,17	1022,8	232,4

Примечание. *L* — размер кристаллитов, определенный по максимально интенсивному рефлексу присутствующих фаз; *S* — удельная поверхность (БЭТ) образца; *V<sub>s</sub>* — объем пор образца; *d<sub>пор</sub>* — диаметр пор, имеющих максимальный объем; \* первой указана фаза, имеющая максимальную интенсивность рефлексов на дифрактограмме.

смеси наблюдается второй эндоэффект при 715 °C (без потери массы образца), который совпадает с температурой плавления оксида молибдена. ДТА образца после механохимической обработки в течение 2 ч демонстрирует аналогичную потерю массы (4,8 %), которая начинается при более низкой температуре и происходит медленнее, чем в случае исходной смеси, при сдвиге температуры эндоэффекта в область более низких температур (226 °C). Второй эндоэффект также наблюдается при более низких температурах (690 °C), чем для исходной смеси, и также без потери массы образца. Сдвиг температуры эндоэффектов в первом случае может быть объяснен более низкой температурой выделения воды из MoO<sub>3</sub>·0,5H<sub>2</sub>O, а во втором случае тем, что плавление нанодисперсного оксида молибдена, как известно, происходит при более низких температурах, чем его массивного аналога.

Изменения размера кристаллов исходных компонентов в результате обработки показывают данные, полученные методами СЭМ (рис. 2) и ТЭМ (рис. 3). Из снимков СЭМ видно, что в результате механохимической обработки в течение 2 ч происходит уменьшение размера частиц исходных компонентов (рис. 2, *a* и *б*). В то же время, как следует из данных ТЭМ (рис. 3, *б*), обработка, наряду с уменьшением размера частиц исходных оксидов, ведет к формированию наноразмерных образований, имеющих иной габитус, чем первичные кристаллы. После обработки в течение 2 ч возникает значительное число иглоподобных нанокристаллов, которые могут быть отнесены к формирующейся фазе MoO<sub>3</sub>·0,5H<sub>2</sub>O (о чем может свидетельствовать их исчезновение при увеличении времени обработки). Одновременно появляются частицы, имеющие округлую форму, которые можно идентифицировать как зарождающиеся нанокристаллы β-ZnMoO<sub>4</sub>.

В ИК-спектрах образца наблюдается смещение полос поглощения связи Mo=O от 991 см<sup>-1</sup> (для исходной смеси) до 982 см<sup>-1</sup> и связи Mo—O—Mo от 864 см<sup>-1</sup> до 857 см<sup>-1</sup> и появление новых полос поглощения при 955 см<sup>-1</sup> (Mo—OH) и 647 см<sup>-1</sup> (O—Mo—O), характерных для молибдатов различных металлов. Полоса поглощения при 495 см<sup>-1</sup> (Zn—O в оксиде цинка) смещается до 473 см<sup>-1</sup>. Уменьшение частот колебания при одновременном снижении их интенсивности может свидетельствовать об ослаблении силы связи Me—O в исходных соединениях, а появление новых полос поглощения — о возникновении новых соединений — MoO<sub>3</sub>·0,5H<sub>2</sub>O и моноклинной модификации ZnMoO<sub>4</sub>.

Увеличение времени механохимической обработки смеси ZnO—MoO<sub>3</sub> до 4 ч, как показывают данные РФА (рис. 1, *в*), приводит к тому, что на рентгенограмме образца доминирующими по интенсивности становятся рефлексы фазы β-ZnMoO<sub>4</sub> (максимальную интенсивность имеет рефлекс плоскости (-111)). На дифрактограмме можно также обнаружить низкоинтенсивные рефлексы от исходного соединения ZnO и образующегося на начальном этапе обработки MoO<sub>3</sub>·0,5H<sub>2</sub>O. Исследования образца после данной обработки методом СЭМ (рис. 2, *в*) свидетельствуют о дальнейшем разрушении кристаллов и существенном уменьшении размера частиц. В то же время данные, полученные методом ТЭМ (рис. 3, *в*), показывают резкое увеличение количества наноразмерных частиц, имеющих округлую форму (β-ZnMoO<sub>4</sub>, см. выше). При этом наблюдается сохранение небольшого количества кристаллов исходных соединений (очевидно, ZnO, согласно данным РФА) и исчезновение иглоподобных кристаллов, хотя наличие низкоинтенсивных рефлексов MoO<sub>3</sub>·0,5H<sub>2</sub>O в образце фиксируется РФА (возможно, что на снимках ТЭМ прозрачные иглоподобные кристаллы

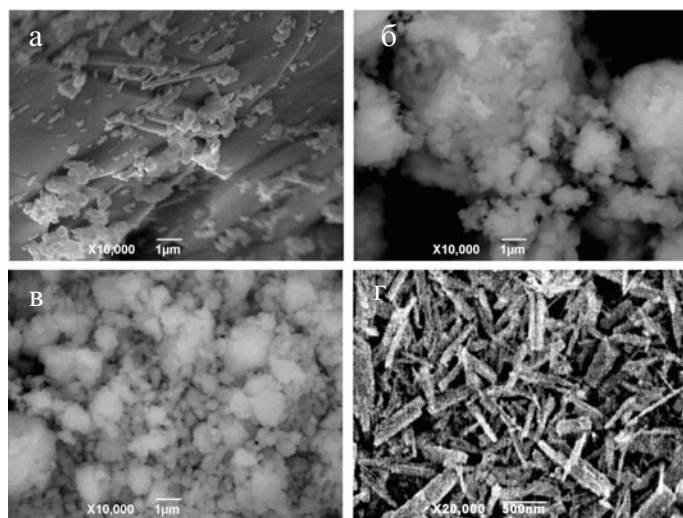


Рис. 2. Микрофотографии исходного образца (а) и образцов после механохимической обработки на воздухе в течение 2 ч (б), 4 ч (в) и 8 ч (г), полученные методом СЭМ.

$\text{MoO}_3 \cdot 0,5\text{H}_2\text{O}$  маскируются темными кристаллами исходного оксида цинка).

Данные ДТА данного образца показывают еще более медленное удаление воды (по сравнению с образцом после 2 ч обработки) с наличием двух очень слабых эндоэффектов при 156 и 208 °C (при общей потере массы 4,6 %). Первый эндоэффект с большей потерей массы (3,1 %) может быть связан с выделением адсорбированной воды, а второй — с разрушением остаточных кристаллов  $\text{MoO}_3 \cdot 0,5\text{H}_2\text{O}$ . Для эндоэффекта в области высоких температур, связанного с плавлением  $\text{MoO}_3$ , также наблюдается снижение температуры до 680 °C, что, как было сказано выше, связано с увеличением дисперсности оксида. Интересно отметить появление экзоэффекта при 445 °C без изменения массы образца. Наличие данного эффекта может быть связано с кристаллизацией  $\beta\text{-ZnMoO}_4$ , находящегося в образце частично в аморфном состоянии.

В ИК-спектрах образца после 4 ч обработки (по сравнению с исходной смесью и образцом после 2 ч механохимической обработки) наблюдается уменьшение интенсивности полос поглощения, связанных с колебаниями OH-групп ( $3430$  и  $1628\text{ cm}^{-1}$ ), что соответствует данным ДТА об уменьшении потери массы образца (см. выше). Полосы колебаний, отвечающие группам  $\text{Mo=O}$  и  $\text{Mo—OH}$  ( $980$  и  $950\text{ cm}^{-1}$ ), резко снижают свою интенсивность и фиксируются в виде плеч на спектре. Полосы колебаний групп  $\text{Mo—O—Mo}$  и  $\text{O—Mo—O}$  смещаются в противоположные стороны: первая — до  $850\text{ cm}^{-1}$ , а вторая — до  $652\text{ cm}^{-1}$ . Подобные изменения в ИК-спектре также могут свидетельствовать о формировании фазы  $\beta\text{-ZnMoO}_4$ , при

этом часть ее (в соответствии с данными ДТА) может находиться в рентгеноаморфном состоянии. Интенсивность полосы поглощения  $473\text{ cm}^{-1}$  ( $\text{Zn—O}$  в  $\text{ZnO}$ ) резко снижается.

Увеличение времени механохимической обработки образца смеси  $\text{ZnO}\text{-MoO}_3$  до 8 ч приводит к существенным изменениям рентгенограммы. Как видно из рис. 1, г, данные РГА показывают присутствие в образце только одной фазы, а именно моноклинной  $\beta\text{-ZnMoO}_4$  с максимальной интенсивностью рефлекса, принадлежащего плоскости (-111). При этом можно отметить, что интенсивность рефлексов данного соединения существенно возрастает. Рефлексы остальных соединений, фиксируемые ранее, исчезают из рентгенограммы. Исследование образца, полученного в результате обработки, методом СЭМ показывает формирование значительного количества стержнеподобных кристаллов (рис. 2, г). Ультразвуковое диспергирование перед исследованием образца методом ТЭМ позволяет разделить эти частицы, и на приведенном снимке (рис. 3, г) видно, что в результате механохимической обработки происходит формирование продолговатых кристаллов с поперечными размерами 15—35 нм при их длине от 100 до 800 нм. Можно предположить, что возникающие в процессе механохимической обработки локальные разогревы и повышенное давление [17] способствуют сращиванию мелких кристаллов  $\beta\text{-ZnMoO}_4$  по одному из направлений кристаллографической оси с формированием более крупной частицы. Образование подобных по габитусу кристаллов при электрохимическом синтезе  $\text{ZnMoO}_4$  на основе монокристалла  $\text{MoO}_3$  наблюдали авторы работы [18], которые предложили механизм

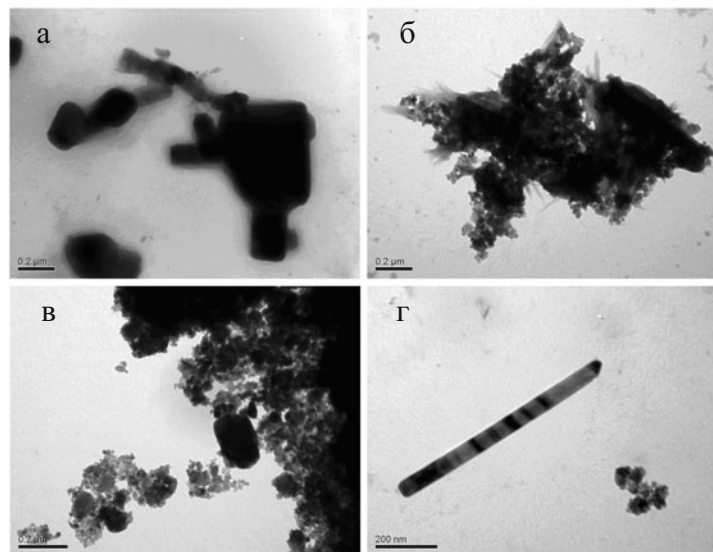


Рис. 3. Исследования образцов методом ТЭМ: *а* — исходный образец, *б*—*г* — образцы после механохимической обработки на воздухе в течение 2, 4 и 8 ч соответственно.

их роста с участием гидратированных соединений исходных оксидов. Представленные на рис. 3, *г* данные показывают, что в результате данной механохимической обработки процесс формирования нанокристаллов  $\beta$ -ZnMoO<sub>4</sub> в форме стержней не является полностью завершенным. Об этом свидетельствует присутствие на снимке некоторого количества мелких (15—25 нм) округлых частиц этой фазы, формирование которых было зафиксировано ранее (рис. 3, *б* и *в*).

Данные ДТА, как и ранее, показывают наличие двух слабых эндоэффектов при 124 и 202 °C (сдвиг в область более низких температур по сравнению с образцом после 4 ч обработки), связанных с удалением из образца адсорбированной воды (потеря массы 4,6 %). На кривой ДТА присутствует также слабый экзоэффект при 430 °C (без потери массы), показывающий наличие в образце незначительного количества аморфной фазы  $\beta$ -ZnMoO<sub>4</sub> и ее кристаллизацию при температурной обработке. Следует отметить, что эндоэффект в области 680 °C, связанный с плавлением нанокристаллов MoO<sub>3</sub>, практически отсутствует.

В ИК-спектрах образца после 8 ч механохимической обработки по-прежнему присутствуют низкоинтенсивные полосы поглощения OH-групп воды (3430 и 1728  $\text{cm}^{-1}$ ). Одновременно в спектре фиксируются все колебания, характерные для наностержней ZnMoO<sub>4</sub> [18]. Наблюдается полоса поглощения при 463  $\text{cm}^{-1}$ , характерная для колебаний Zn—O-связи в молибдате цинка. В ИК-спектре также присутствуют полосы поглощения при 647, 850 и 950  $\text{cm}^{-1}$ , отвечающие деформационным, асиммет-

ричным и симметричным валентным колебаниям октаэдрически (MoO<sub>6</sub>) координированного молибдена в различных молибдатах металлов [11, 18, 19].

Установлено, что в результате механохимической обработки происходит увеличение удельной поверхности образца от 2 до 9  $\text{m}^2/\text{г}$  (таблица). Следует отметить, что при обработке смеси ZnO-MoO<sub>3</sub> изменения значения удельной поверхности значительно меньше, чем при обработке индивидуального MoO<sub>3</sub>, где поверхность в результате может быть увеличена до 35—55  $\text{m}^2/\text{г}$  [14—16] (к сожалению, данные об изменении удельной поверхности ZnO в литературе отсутствуют, хотя в ряде работ [20, 21] показана возможность получения наночастиц этого соединения при механохимической обработке). Наблюдающееся различие в значении удельной поверхности может быть объяснено тем, что в результате механохимической обработки смеси ZnO-MoO<sub>3</sub>, кроме измельчения MoO<sub>3</sub>, происходит химическая реакция с образованием нового соединения  $\beta$ -ZnMoO<sub>4</sub>.

Исследование пористой структуры образцов показывает, что исходная смесь ZnO-MoO<sub>3</sub>, по аналогии с исходными оксидами, имеет изотерму адсорбции без капиллярно-конденсационного гистерезиса (тип II IUPAC) с максимальным объемом для пор диаметром  $\geq 87$  нм (таблица). Таким образом, адсорбция азота происходит не в порах, а в пустотах между достаточно плотно упакованными частицами порошков исходных соединений. Механохимическая обработка смеси приводит к изменению формы изотерм, появлению петли гистерезиса (тип В IUPAC). На кривой распределения пор по размерам

после 2 ч обработки наблюдается максимум при диаметре пор 9 нм, а после 4 ч обработки — 5 нм. Полученные данные показывают, что в результате механохимической обработки из смеси непористых оксидов образуется пористая система с наличием мезопор, что было отмечено ранее для других оксидов и их смесей [22]. Для образца, полученного при времени обработки 8 ч, на кривой распределения пор по размерам наблюдается наличие двух максимумов: первый для микропор диаметром около 2 нм и второй для мезопор диаметром 17 нм (таблица). Таким образом, полученные данные показывают, что в результате механохимической обработки смеси непористых исходных оксидов формируются пористые композиты, а синтезированный  $\beta$ -ZnMoO<sub>4</sub> имеет существенно большее значение удельной поверхности, чем полученный традиционными методами, и обладает бипористой структурой с наличием микро- и мезопор.

С учетом предложенного в работе [18] механизма образования ZnMoO<sub>4</sub> с участием гидратированного оксида цинка нами проведены исследования по механохимической обработке смеси ZnO-MoO<sub>3</sub> в воде (в емкость добавляли 100 мл H<sub>2</sub>O, остальные условия обработки аналогичны представленным выше). Как показывают данные РФА образца, полученного в результате обработки в воде (рис. 1, *д*), в данном случае фиксируются слабые рефлексы исходных оксидов молибдена и цинка, а также интенсивные рефлексы субоксида молибдена Mo<sub>9</sub>O<sub>23</sub>. Образование последней фазы, частично содержащей Mo<sup>5+</sup>, согласуется с ранее опубликованными данными [5, 14, 23—25] о восстановлении оксидов различных металлов при их механохимической обработке в воде. Увеличение времени обработки приводит к полному исчезновению рефлексов исходных оксидов и росту их интенсивности для субоксида молибдена, однако образование  $\beta$ -ZnMoO<sub>4</sub> не наблюдается.

По нашему мнению, полученные данные не подтверждают механизм формирования ZnMoO<sub>4</sub>, предложенный в работе [18], с участием гидрата оксида цинка. Наблюданное в спектре РФЭС увеличение энергии связи Zn2p-электронов после 2 и 4 ч обработки (таблица) свидетельствует о существенном уменьшении размера частиц оксида (при образовании гидратированных соединений наблюдается сдвиг в противоположную сторону) и формировании молибдата цинка. В этих образцах наблюдается практическое постоянство энергии связи Mo3d-электронов (конкуренция между формированием гидратированного оксида, уменьшением размера частиц оксида и формированием молибдата). Увеличение времени обработки сопровождается

дальнейшим увеличением энергии связи Zn2p-электронов до значения, характерного для его двойных оксидов, и снижением энергии связи Mo3d-электронов (таблица), что может быть связано с формированием молибдата цинка с переносом электронной плотности от цинка на молибден. На основании этих результатов, а также данных РФА и ИК-спектрокопии (см. выше) можно предположить участие в процессе образования ZnMoO<sub>4</sub> соединения MoO<sub>3</sub>·0,5H<sub>2</sub>O, но не гидратированного оксида цинка, как предполагали в работе [18]. При этом решающую роль играют повышенное давление и локальные разогревы, возникающие при механохимической обработке [17], на роль которых в формировании молибдата цинка указывали в работе [19].

Таким образом, показано, что в результате механохимической обработки смеси непористых оксидов ZnO-MoO<sub>3</sub> на первом этапе происходит существенное измельчение исходных оксидов с последующим формированием наноразмерной фазы гидратированного оксида молибдена и ее участием в образовании фазы  $\beta$ -ZnMoO<sub>4</sub>, которая при дальнейшей обработке может агglomerироваться, в результате чего формируются наноразмерные стержни этого соединения. Полученный  $\beta$ -ZnMoO<sub>4</sub> характеризуется наличием бипористой (микро- и мезопоры) структуры и значительной удельной поверхностью — 9 м<sup>2</sup>/г.

## Литература

1. Zhang G., Yu S., Yang Y. et al. // J. Cryst. Growth. — 2010. — **312**. — P. 1866—1874.
2. Cavalcante L. S., Sczancoski J. C., Li M. et al. // Colloids and Surfaces A. — 2012. — **396**. — P. 346—351.
3. Avvakumov E., Senna M., Kosova N. Soft mechanochemical synthesis: A basis for new chemical technologies. — Boston, Dordrecht : Kluwer Acad. publ., 2001.
4. Baláž P. Mechanochemistry in nanoscience and mineral engineering. — Berlin : Springer, 2008.
5. Zazhigalov V. A., Wieczorek-Ciurowa K. Mechanochemiczna aktywacja katalizatorow wanadowych. — Krakow : Wydawnictwo PK, 2014.
6. Baláž P., Achimovicova M., Balaz M. et al. // Chem. Soc. Rev. — 2013. — **42**, N 18. — P. 7571—7637.
7. Зажигалов В. А. // Теорет. и эксперим. химия. — 2013. — **49**, № 3. — С. 166—171. — [Theor. Exp. Chem. — 2013. — **49**, N 3. — P. 178—184 (Engl. Trans.)].
8. Posudieovsky O. Yu., Khasieva O. A., Koshechko V. G., Pokhodenko V. D. // J. Mater. Chem. — 2012. — **22**, N 25. — P. 12465—12467.
9. Погудиевский О. Ю., Хазеева А. А., Кошечко В. Г., Походенко В. Д. // Теорет. и эксперим. химия. — 2014. — **50**, № 2. — С. 101—107. — [Theor. Exp. Chem. — 2014. — **50**, N 2. — P. 103—109 (Engl. Trans.)].
10. Klissurski D., Radev D., Iordanova R. et al. // Chem. Sustain. Dev. — 2005. — **13**, N 2. — P. 225—228.

11. Klissurski D., Mancheva M., Dimitriev Y. et al. // J. Alloys and Comp. — 2009. — **485**, N 1/2. — P. 104—109.
12. Молчанов В. В., Буянов Р. А., Цыбуля С. В. и др. // Кинетика и катализ. — 2004. — **45**, № 5. — С. 724—733.
13. Mestl G., Herzog B., Sshlogl R. et al. // Langmuir. — 1995. — **11**, N 8. — P. 3027—3034.
14. Wieczorek-Ciurowa K., Litvin N., Zazhigalov V. // Przemysl Chem. — 2011. — **90**, N 7. — P. 1404—1411.
15. Румянцев Р. Н., Ильин А. А., Ильин А. П., Пазухин И. В. // Теорет. и эксперим. химия. — 2011. — **47**, № 1. — С. 37—40. — [Theor. Exp. Chem. — 2011. — **47**, N 1. — P. 41—44 (Engl. Trans.)].
16. Сивак М. В., Стрелецкий А. Н., Колбанев И. В. и др. // Коллоидн. журн. — 2015. — **77**, № 5. — С. 355—363.
17. Болдырев В. В. // Успехи химии. — 2006. — **75**, № 3. — С. 203—216.
18. Liang Y., Liu P., Li H. B., Yang G. W. // Cryst. Growth Des. — 2012. — **12**, N 9. — P. 4487—4493.
19. Karekar S. E., Bhanvase B. A., Sonaware S. H. et al. // Chem. Eng. and Proc.: Proc. Intensif. — 2015. — **87**. — P. 51—58.
20. Damonte L. C., Mendoza Zelis L. A., Mari Soucase B. et al. // Powder Technol. — 2004. — **148**, N 1. — P. 15—19.
21. Полубояров В. А., Киселевич С. Н., Кириченко О. А. и др. // Неорган. материалы. — 1998. — **34**, № 11. — С. 1365—1372.
22. Skwarek E., Khalameida S., Janusz W. et al. // J. Therm. Anal. and Calorim. — 2011. — **106**, N 3. — P. 881—894.
23. Zazhigalov V. A., Haber J., Stoch J. et al. // Solid State Ionics. — 1997. — **101—103**. — P. 1257—1262.
24. Богуцкая Л. В., Халамейда С. В., Зажигалов В. А. и др. // Теорет. и эксперим. химия. — 1999. — **35**, № 4. — С. 257—261. — [Theor. Exp. Chem. — 1999. — **35**, N 4. — P. 242—246 (Engl. Trans.)].
25. Domen K., Ikeda S., Takata T. et al. // Appl. Energy. — 2000. — **67**, N 1/2. — P. 159—179.

Поступила в редакцию 9 марта 2016 г.  
В окончательном варианте 29 марта 2016 г.

## Механохімічний синтез нанодисперсних сполук у системі $ZnO\text{-}MoO}_3$

**B. O. Зажигалов<sup>1</sup>, O. В. Сачук<sup>1</sup>, Н. С. Копачевська<sup>1</sup>, I. В. Бачерикова<sup>1</sup>,  
К. Вечорек-Цюрова (K. Wieczorek-Ciurowa)<sup>2</sup>, С. М. Щербаков<sup>3</sup>**

<sup>1</sup> Інститут сорбції та проблем ендоекології НАН України  
вул. Наумова, 13, Київ 03164, Україна. E-mail: zazhigal@ispe.kiev.ua

<sup>2</sup> Institute of Chemistry and Inorganic Technology, T. Kostyushko Cracow University of Technology  
Warszawska Str., 24, Cracow 31-155, Poland. E-mail: kwc@pk.edu.pl

<sup>3</sup> Центр колективного використання приладів, Інститут ботаніки ім. М. Г. Холодного НАН України  
вул. Терещенківська, 2, Київ 01004, Україна

*Показано, що механохімічна обробка суміші оксидів  $ZnO\text{-}MoO}_3$  (1 : 1) в шаровому планетарному  
мліні в повітрі призводить до формування нанорозмірного  $MoO}_3\cdot0.5H_2O$  з наступним  
утворенням  $\beta\text{-ZnMoO}_4$ , який частково має форму наностержнів.*

**Ключові слова:** механохімія, наносполуки, оксид молібдену, оксид цинку, молібдат цинку.

## Mechanochemical Synthesis of Nanodispersed Compounds in $ZnO\text{-}MoO}_3$ System

**V. A. Zazhigalov<sup>1</sup>, E. V. Sachuk<sup>1</sup>, N. S. Kopachevskaya<sup>1</sup>, I. V. Bacherikova<sup>1</sup>,  
K. Wieczorek-Ciurowa<sup>2</sup>, S. N. Shcherbakov<sup>3</sup>**

<sup>1</sup> Institute for Sorption and Problems of Endoecology, National Academy of Sciences of Ukraine  
Vul. Naumova, 13, Kyiv 03164, Ukraine. E-mail: zazhigal@ispe.kiev.ua

<sup>2</sup> Institute of Chemistry and Inorganic Technology, T. Kostyushko Cracow University of Technology  
Warszawska Str., 24, Cracow 31-155, Poland. E-mail: kwc@pk.edu.pl

<sup>3</sup> Centre of Common Use of Equipment, M. G. Kholodny Institute of Botany, National Academy of Sciences of Ukraine  
Vul. Tereshchenkivska, 2, Kyiv 01004, Ukraine

*It was shown that mechanochemical treatment of  $ZnO\text{-}MoO}_3$  (1 : 1) oxide mixture in planetary ball mill in  
the air led to  $MoO}_3\cdot0.5H_2O$  nanocompound formation with subsequent creation of  $\beta\text{-ZnMoO}_4$  that partly  
had nanorod shape.*

**Key words:** mechanochemistry, nanocompounds, molybdenum oxide, zinc oxide, zinc molybdate.